

# Отрицательное магнетосопротивление монокристаллических „усов“ железа в процессе перемагничивания

© Ю.В. Захаров, Л.С. Титов\*

Институт физики им. Л.В. Киренского Сибирского отделения Российской академии наук, 660036 Красноярск, Россия

\* Красноярский государственный университет, 660062 Красноярск, Россия

(Поступила в Редакцию 5 июня 2003 г.)

Теоретически исследовано изменение низкотемпературного сопротивления монокристаллических „усов“ железа в процессе перемагничивания из однодоменного состояния в состояние с плоскопараллельной доменной структурой. Расчет магнетосопротивления по формуле Кубо, выполненный с учетом изменения траекторий движения электронов проводимости в поле магнитной индукции доменов, позволил получить отрицательное сопротивление величиной  $\sim 45\%$ , т.е. того же порядка, что и в эксперименте Изина и Колемана.

В недавних работах [1,2] была вновь предпринята попытка объяснить эффект отрицательного магнетосопротивления (до  $-20\%$ ) в чистых поликристаллах железа [3] рассеянием на доменных границах. Как и в ряде ранних работ [4], теоретические результаты оказались на порядки меньше наблюдавшихся в эксперименте.

Нами было показано [5,6], что этот эффект обусловлен изменением траекторий движения электронов в поле магнитной индукции вблизи доменной границы. Учет трехдоменных состояний электронов, траектории движения которых охватывают узкий домен, позволил получить эффект отрицательного магнетосопротивления величиной до  $-22\%$ . Покажем, что наш подход позволяет объяснить отрицательное магнетосопротивление не только поликристаллов железа [3], но и монокристаллических тонких „усов“ железа [7].

Впервые эффект уменьшения электросопротивления ферромагнитного образца при его намагничивании поперечным полем был обнаружен в экспериментах Семеновко и Судовцова [3] на поликристалле железа при 4.2 К (уменьшение на 20%) и Изина и Колемана [7] на монокристалле — „усе“ железа (до  $-60\%$ ). Теоретическое объяснение экспериментов [3] получено нами в работе [6] и состоит в следующем. В процессе намагничивания образца с исходной плоскопараллельной доменной структурой при смещении доменных границ меняются траектории движения электронов проводимости в поле магнитной индукции доменов, возникает размерный эффект, когда ширина уменьшающегося домена  $2d$  сравнивается с циклотронным диаметром  $2R$ , и появляется новый тип электронных состояний, классическая траектория которых охватывает три домена. Вклад других механизмов влияния доменной структуры на электропроводность ферромагнитных металлов оказывается пренебрежимо малым. Расчет проводимости, выполненный в [6] с учетом одно-, двух- и трехдоменных состояний электронов, позволил получить количественное согласие с экспериментом [3].

Однако ситуация, имевшая место в экспериментах Изина и Колемана, не была рассмотрена и соответствен-

но не было дано объяснения столь большого отрицательного магнетосопротивления, которое наблюдалось в [7]. Детальные экспериментальные исследования доменных структур монокристаллических „усов“ железа при перемагничивании образцов поперечным полем выполнили Колеман и Скотт [8]. Они привели результаты порошковых наблюдений, показывающих, что в начальном состоянии образцы близки к однодоменным, а при перемагничивании поперечным полем в них возникают и развиваются сквозные доменные структуры „кинжального“ и плоскопараллельного типа в полях до 2 кОе. Именно в этих полях Изин и Колеман наблюдали максимальные значения отрицательного магнетосопротивления.

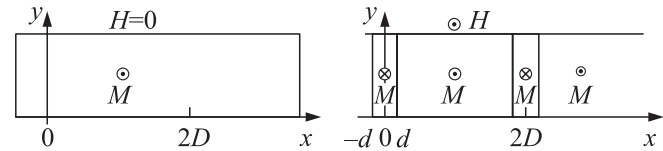


Рис. 1. Возникновение доменной структуры в процессе перемагничивания однодоменного образца (модель по эксперименту [8]).

Для объяснения результатов [7] мы рассмотрели магнетосопротивление многодоменного образца с исходным однодоменным состоянием, в котором в процессе перемагничивания возникают узкие плоскопараллельные домены (рис. 1). В этой модели была получена зависимость магнетосопротивления от поперечной намагниченности  $M$ , относительная величина которой определяется шириной возникших доменов при периоде доменной структуры, равном  $2D$ .

Расчет осуществлялся с помощью формулы Кубо для проводимости компенсированного металла в  $\tau$ -приближении [6]

$$\sigma_{ij} = -e^2 \int d\Gamma \frac{\partial f_F}{\partial \epsilon} \int_0^\infty \langle v_i(t') v_j(t' - t) \rangle_{t'} \exp(-t/\tau) dt. \quad (1)$$

Поскольку корреляторы скоростей отличаются для различных типов состояний, интегрирование по сфере Ферми разбивается на интегрирование по участкам, занятым различными электронными состояниями. Это разбиение меняется с изменением координаты  $x$ . Области, занимаемые различными электронными состояниями, определяются из связи между каноническим и кинематическим импульсами и условиями достижения или недостижения классическими электронными траекториями доменных границ. Удастся аналитически вычислить средние значения корреляторов скоростей одно-, двух- и трехдоменных состояний и провести интегрирование, учитывающее столкновения. Проводимость поперек возникших доменов (вдоль „уса“) тогда можно преобразовать при  $0 \leq x \leq 2D$  к виду

$$\sigma_{xx}(x) = \frac{\sigma_0}{1+s^2} [1 + \Delta_3(x) + \Delta_3(2D-x) + \Delta_2(x+d) + \Delta_2(|x-d|) + \Delta_2(2D+d-x) + \Delta_2(|2D-d-x|)], \quad (2)$$

где  $s = \tau\omega$  ( $\omega$  — циклотронная частота в поле индукции домена). Величины  $\Delta_2(x)$  и  $\Delta_3(x)$  — дополнительные (по сравнению с однодоменными) вклады в проводимость от двухдоменных и трехдоменных состояний, локализованных соответственно на границах и узких доменах. Они представляют собой интегралы по участку поверхности Ферми, занятому электронами проводимости в соответствующих состояниях. Для случая  $d < R < D/2$  величина  $\Delta_2(x)$  есть дополнительный вклад от двухдоменных состояний, усеченный наличием трехдоменных состояний

$$\Delta\sigma_2(x) = \begin{cases} \frac{1}{\pi} \int_{\varphi_2}^{\pi} F_2(\alpha) d\varphi, & 0 < x < 2d, \\ 0, & 2d < x. \end{cases} \quad (3)$$

Здесь

$$F_2(\alpha) = \frac{s^2}{1+s^2} \frac{2 \cos^2 \alpha \operatorname{th}(\alpha/s)}{\alpha} - \frac{1+3s^2}{1+s^2} \frac{\sin \alpha \cos \alpha}{\alpha}. \quad (4)$$

Связь между  $\alpha$  и  $\varphi$  задана уравнением  $\cos \varphi + \cos \alpha = -x/R$ , поскольку выражение записано для границы, расположенной при  $x=0$ , а расстояние  $x$  до нее предполагается положительным. Угол  $\varphi_2 = \arccos((2d-x)/R-1)$ .

Выражение, определяющее  $\Delta\sigma_3(x)$  от домена с центром при  $x=0$ , при произвольном положительном  $x$  имеет вид

$$\Delta\sigma_3(x) = \begin{cases} \frac{1}{\pi} \int_{\varphi_3}^{\varphi_4} F_3(\alpha, \beta) d\varphi, & 0 < x < d+2R, \\ 0, & d+2R < x. \end{cases} \quad (5)$$

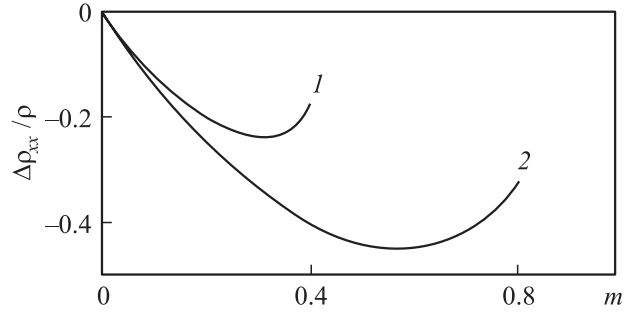


Рис. 2. Магнетосопротивление однодоменного образца в процессе поперечного перемагничивания при  $2R/D = 0.4$  (1) и  $0.8$  (2) для  $s = 10$ .

Подынтегральная функция

$$F_3(\alpha, \beta) = \frac{1+3s^2}{\theta(1+s^2)} \cos \theta \sin(\theta-2\alpha) + \frac{4s^3}{\theta(1+s^2) \operatorname{sh}(2\theta/s)} \left[ \cos^2 \alpha \operatorname{sh}(\alpha/s) \operatorname{sh}((2\theta-\alpha)/s) + \cos^2 \beta \operatorname{sh}(\beta/s) \operatorname{sh}((2\theta-\beta)/s) + 2 \cos \alpha \cos \beta \operatorname{sh}(\alpha/s) \operatorname{sh}(\beta/s) \right]. \quad (6)$$

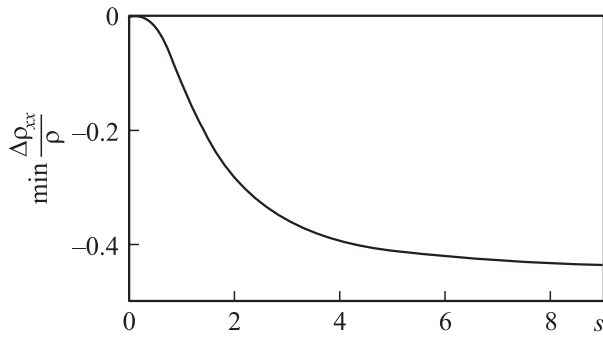
Пределы интегрирования  $\varphi_3, \varphi_4$  зависят от области определения  $x$ . Так, для  $0 < x < d$  имеем  $\varphi_3 = \arccos((x-d)/R+1)$ ,  $\varphi_4 = \arccos((x+d)/R-1)$ . При  $d < x < 3d$  углы  $\varphi_3 = \arccos(1-(x-d)/R)$ ,  $\varphi_4 = \arccos((3d-x)/R-1)$ . При  $3d < x < d+2R$  углы  $\varphi_3 = \arccos(1-(x-d)/R)$ ,  $\varphi_4 = \pi$ . Соотношения, определяющие связь  $\alpha, \beta$  и  $\varphi$ , имеют следующий вид:

$$\cos \varphi + \cos \alpha = -|(x-d)|/R, \quad \cos \beta + \cos \alpha = -2d/R. \quad (7)$$

Далее численно проводился расчет магнетосопротивления

$$\Delta\rho/\rho = [\rho(m) - \rho_0]/\rho_0, \quad (8)$$

где  $\rho(m) = \int_0^D (1/\sigma(x)) dx$  — сопротивление при относительной поперечной намагниченности  $m = M/M_0$ ,  $\rho_0$  — сопротивление в начальном состоянии. Поскольку начальное состояние, по отношению к которому рассчитывается величина магнетосопротивления, является однодоменным и, следовательно, обладает более высоким сопротивлением, чем состояние с периодической доменной структурой, отрицательный минимум магнетосопротивления для однодоменного образца становится глубже. На рис. 2 представлены полученные нами кривые магнетосопротивления для двух значений отношения  $2R/D$ . Так, при  $2R/D = 0.8$  глубина минимума магнетосопротивления достигает значения  $-45\%$ .



**Рис. 3.** Глубина минимума отрицательного магнетосопротивления в процессе поперечного перемагничивания однодоменного образца в зависимости от  $l/R$  при  $2R/D = 0.8$ .

Приведенные выше выражения для проводимости позволяют также рассчитать магнетосопротивление в зависимости от величины  $s = \tau\omega = l/R$  ( $l$  — длина свободного пробега электронов в металле). Глубина минимума магнетосопротивления наиболее резко изменяется при отношении длины свободного пробега к циклотронному радиусу  $l/R \sim 1-2$ . Типичная зависимость глубины минимума магнетосопротивления приведена на рис. 3. При больших значениях  $l/R$  достигается насыщение. Этот результат показывает, что для наблюдения эффекта отрицательного магнетосопротивления, обусловленного изменением траекторий электронов, достаточно иметь образцы с отношением  $l/R \gtrsim 1$ .

Полученная нами величина отрицательного магнетосопротивления ( $-45\%$ ) не совпадает с экспериментальными данными Изина и Колемана ( $-60\%$ ). Это может быть объяснено тем, что при таком перемагничивании с возникающей узкой „кинжальной“ доменной структурой ( $2R/D > 1$ ) необходимо учитывать появление пятидоменных и следующих полидоменных электронных состояний.

Авторы признательны Ю.И. Манькову и С.Г. Овчинникову за проявленный интерес к работе.

## Список литературы

- [1] J.B.A.N. Van Hoof, K.M. Schep, P.J. Kelly, G.E.W. Bauer. *J. Magn. Magn. Mater.* **177–181**, 188 (1998).
- [2] G. Tatara, H. Fukuyama. *Phys. Rev. Lett.* **78**, 3773 (1997).
- [3] А.И. Судовцов, Е.Е. Семенов. *ЖЭТФ* **35**, 305 (1958); **47**, 486 (1964).
- [4] G.G. Cabrera, L.M. Falicov. *Phys. Stat. Sol. (b)* **61**, 539 (1974); **62**, 217 (1974).
- [5] Yu.V. Zakharov, Yu.I. Mankov, L.S. Titov. *J. Magn. Magn. Mater.* **54–57**, 1549 (1986).
- [6] Ю.В. Захаров, Ю.И. Маньков, Л.С. Титов. *ФНТ* **12**, 408 (1986).
- [7] A. Isin, R.V. Coleman. *Phys. Rev.* **137A**, 1609 (1965); **142**, 372 (1966).
- [8] R.V. Coleman, G.G. Scott. *Phys. Rev.* **107**, 1276 (1957).